

处理一类非线性与线性组合结构的 混合边界条件方法

陈山林 张立英

(重庆建筑工程学院) (重庆交通学院)

(叶开沅推荐, 1985年9月1日收到)

摘 要

本文处理边界与线弹性结构连接的扁壳轴对称大挠度问题。提出了处理此类问题的混合边界条件方法, 将组合问题转化为独立结构问题, 给出了问题的积分方程组, 用摄动法求得了解答。计算了扁球壳与柱壳组合问题的算例。

一、引 言

考虑图1所示一类壳体组合结构, 其中扁壳部分为轴对称大挠度变形, 边界结构(柱壳、锥壳、球壳等)为小挠度变形。这是一个能比较真实地反映许多实际结构的组合结构问题。

我们假定, 对于边界结构, 其边界位移仅与边界力及其荷载有关, 且具有线性关系

$$\begin{bmatrix} u \\ \varphi \end{bmatrix} = \begin{bmatrix} k_{11} & k_{12} \\ k_{21} & k_{22} \end{bmatrix} \begin{bmatrix} N \\ M \end{bmatrix} + \begin{bmatrix} k'_1 \\ k'_2 \end{bmatrix} Q + \begin{bmatrix} k'_3 \\ k'_4 \end{bmatrix} q' \quad (1.1)$$

式中, u, φ ——边界结构的边界水平位移和转角, N, M, Q ——边界水平力, 弯矩, 剪力, q' ——边界结构荷载参数, k_{ij}, k'_i 称为边界约束系数, 可由求解边界结构小变形问题得到, 视为已知。其中 Q 和 q' 与变形无关, 设可以表示为

$$\left. \begin{aligned} k'_1 Q + k'_3 q' &= k_1^* q_0 \\ k'_2 Q + k'_4 q' &= k_2^* q_0 \end{aligned} \right\} \quad (1.2)$$

式中, q_0 ——扁壳荷载参数。

对于边界 $r=a$, 有连接条件

$$\left. \begin{aligned} u_r &= u, \quad \frac{dw}{dr} = \varphi \\ N_r &= N, \quad M_r = M \end{aligned} \right\} \quad (1.3)$$

式中, u_r, w ——扁壳径向位移和挠度, N_r, M_r ——扁壳径向力和径向弯矩。将(1.3)和(1.2)代入(1.1), 可得, 当 $r=a$ 时

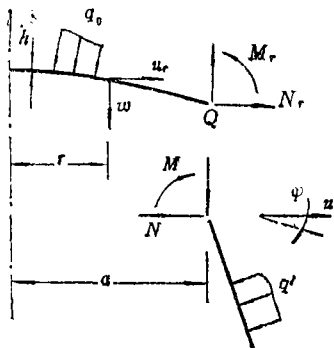


图1 组合结构示意图

$$\begin{bmatrix} u_r \\ \frac{dw}{dr} \end{bmatrix} = \begin{bmatrix} k_{11} & k_{12} \\ k_{21} & k_{22} \end{bmatrix} \begin{bmatrix} N_r \\ M_r \end{bmatrix} + \begin{bmatrix} k_1^* \\ k_2^* \end{bmatrix} q_0 \quad (1.4)$$

注意到^[1]

$$\left. \begin{aligned} u_r &= \frac{r}{Eh} \left[\frac{d(rN_r)}{dr} - \nu N_r \right] \\ M_r &= -D \left[\frac{d^2w}{dr^2} + \frac{\nu}{r} \frac{dw}{dr} \right] \end{aligned} \right\} \quad (1.5)$$

式中, E, ν ——弹性常数, $D = Eh^3/12(1-\nu^2)$. 将 (1.5) 代入 (1.4), 可得

当 $r=a$ 时

$$\left. \begin{aligned} \frac{d^2w}{dr^2} + \left(\frac{\nu}{a} + \frac{1}{Dk_{22}} \right) \frac{dw}{dr} &= \frac{1}{D} \frac{k_{21}}{k_{22}} N_r + \frac{k_2^*}{Dk_{22}} q_0 \\ \frac{d(rN_r)}{dr} - \left[\nu + \frac{Eh}{a} \left(k_{11} - \frac{k_{12}k_{21}}{k_{22}} \right) \right] N_r & \\ &= \frac{Eh}{a} \left[\frac{k_{12}}{k_{22}} \frac{dw}{dr} + \left(k_1^* - \frac{k_2^*k_{12}}{k_{22}} \right) q_0 \right] \end{aligned} \right\} \quad (1.6)$$

我们将在混合边界条件 (1.6) 下求解扁壳部分的大挠度变形. 这样, 我们就将边界条件与连接条件结合了起来, 将组合结构问题转化为单一结构的混合边值问题. (1.4) 或 (1.6) 式中, 由 k_{ij}, k_i^* 的特别取值可以给出普通边界条件. 比如, 令 $k_1^* = 0, k_{12} = k_{21} = 0$, 给出普通弹性支撑; 对于 k_{11}, k_{22} 的特定取值可以给出固定、铰支、简支等各种常见边界. 因此, 本文解答也包括普通边界条件的结果.

二、基本方程

引入无量纲量

$$\left. \begin{aligned} x &= r/a, \quad W = \sqrt{12(1-\nu^2)} \frac{w}{h}, \quad V = \frac{dW}{dx} \\ S_r &= -12(1-\nu^2) \frac{a^2}{Eh^3} x N_r, \quad k = \sqrt{12(1-\nu^2)} \frac{a\bar{V}_0}{h} \\ p &= [12(1-\nu^2)]^{3/2} \frac{a^4}{Eh^4} q_0 \end{aligned} \right\} \quad (2.1)$$

式中, r ——向径, a ——底面半径, h ——壳厚, \bar{V}_0 ——壳体形状参数. 则弹性扁壳轴对称大挠度问题的基本方程可写做^[1]

$$\left. \begin{aligned} x \frac{d}{dx} \frac{1}{x} \frac{d}{dx} (xV) &= pp_0(x) - kf(x)S_r - S_rV \\ x \frac{d}{dx} \frac{1}{x} \frac{d}{dx} (xS_r) &= kf(x)V + \frac{1}{2}V^2 \end{aligned} \right\} \quad (2.2)$$

式中

$p_0(x)$ ——荷载分布函数, $f(x)$ ——扁壳形状函数.

边界条件 (1.6) 可写做, 当 $x=1$ 时

$$\left. \begin{aligned} \frac{dV}{dx} + \nu_1 V &= \nu_3 S_r + \nu_5 p \\ \frac{dS_r}{dx} - \nu_2 S_r &= \nu_4 V + \nu_6 p \end{aligned} \right\} \quad (2.3)$$

式中

$$\left. \begin{aligned} \nu_1 &= \nu + \frac{a}{Dk_{22}}, & \nu_2 &= \nu + \frac{Eh}{a} \left(k_{11} - \frac{k_{12}k_{21}}{k_{22}} \right) \\ \nu_3 &= -\sqrt{12(1-\nu^2)} \frac{k_{21}}{hk_{22}}, & \nu_4 &= -\sqrt{12(1-\nu^2)} \frac{k_{12}}{hk_{22}} \\ \nu_5 &= \frac{k_1^*}{a^2 k_{22}}, & \nu_6 &= -Eh^2 \sqrt{12(1-\nu^2)} \left(k_1^* - \frac{k_1^* k_{12}}{k_{22}} \right) / a^3 \end{aligned} \right\} \quad (2.4)$$

以及 $x=0$ 点条件

$$V=0, S_r=0 \quad (2.5)$$

混合边值问题 (2.2)、(2.3) 和 (2.5) 可以化为积分方程。直接积分 (2.2) 式, 并用 (2.3) 和 (2.5) 式确定积分常数, 我们得到

$$\left. \begin{aligned} V &= pV_0 + \int_0^1 K_1 F_1 dy - f_2 x \int_0^1 F_2 y dy \\ S_r &= pS_0 + \int_0^1 K_2 F_2 dy - f'_1 x \int_0^1 F_1 y dy \end{aligned} \right\} \quad (2.6)$$

式中,

$$\left. \begin{aligned} V_0 &= \int_0^1 K_1 p_0(y) dy + f_3 x \\ S_0 &= -f'_1 x \int_0^1 p_0(y) y dy + f'_3 x \\ F_1 &= -kfS_r - S_r V, \quad F_2 = kfV + V^2/2 \\ K_1 &= \begin{cases} -\frac{1}{2}(xy^{-1} + f_1 xy) & (x \leq y \leq 1) \\ -\frac{1}{2}(x^{-1}y + f_1 xy) & (0 \leq y \leq x) \end{cases} \\ K_2 &= \begin{cases} -\frac{1}{2}(xy^{-1} + f'_1 xy) & (x \leq y \leq 1) \\ -\frac{1}{2}(x^{-1}y + f'_1 xy) & (0 \leq y \leq x) \end{cases} \\ f_1 &= \frac{(1-\nu_1)(1-\nu_2) + \nu_3 \nu_4}{(1+\nu_1)(1-\nu_2) - \nu_3 \nu_4}, \quad f'_1 = \frac{(1+\nu_1)(1+\nu_2) + \nu_3 \nu_4}{(1+\nu_1)(1-\nu_2) - \nu_3 \nu_4} \\ f_2 &= \frac{\nu_3}{(1+\nu_1)(1-\nu_2) - \nu_3 \nu_4}, \quad f'_2 = \frac{\nu_4}{(1+\nu_1)(1-\nu_2) - \nu_3 \nu_4} \\ f_3 &= \frac{\nu_5(1-\nu_2) + \nu_3 \nu_6}{(1+\nu_1)(1-\nu_2) - \nu_3 \nu_4}, \quad f'_3 = \frac{\nu_6(1+\nu_1) + \nu_4 \nu_5}{(1-\nu_2)(1+\nu_1) - \nu_3 \nu_4} \end{aligned} \right\} \quad (2.7)$$

非线性积分方程 (2.6) 与边值问题 (2.2)、(2.3)、(2.5) 等价, 其中积分核 K_1 、 K_2 是对称连续核。

三、摄 动 解

扁壳无量纲中心挠度

$$W_0 = \int_1^0 V dx \quad (3.1)$$

将 (2.6) 式代入上式, 得

$$W_0 = e_0 p + \int_0^1 G_1 F_1 dy + \frac{f_2}{2} \int_0^1 F_2 y dy \quad (3.2)$$

式中

$$e_0 = -\frac{f_3}{2} + \int_0^1 \left(-\frac{1}{2} x \ln x + \frac{1+f_1}{4} x \right) p_0 dx$$

$$G_1 = -y \ln y / 2 + y(1+f_1) / 4$$

我们将用正规摄动方法求解方程组 (2.6), 取 W_0 为摄动参数。设

$$p = \sum_{n=1}^N e_n W_0^n, \quad V = \sum_{n=1}^N V_n W_0^n, \quad S_r = \sum_{n=1}^N S_{rn} W_0^n \quad (3.3)$$

式中, e_n , V_n , S_{rn} 待定, N 为摄动次数。将 (3.3) 式代入方程组 (2.6), 比较 W_0 同次幂的系数, 可得

$$\left. \begin{aligned} V_1 &= e_1 V_0 - k \int_0^1 K_1 S_{r1} y dy - k f_2 x \int_0^1 V_1 y^2 dy \\ S_{r1} &= e_1 S_0 + k \int_0^1 K_2 V_1 y dy + k f_2' x \int_0^1 S_{r1} y^2 dy \\ V_n &= e_n V_0 - k \int_0^1 K_1 S_{rn} y dy - k f_2 x \int_0^1 V_n y^2 dy \\ &\quad - \int_0^1 K_1 F_{1n} dy - \frac{f_2}{2} x \int_0^1 F_{2n} y dy \\ S_{rn} &= e_n S_0 + k \int_0^1 K_2 V_n y dy + k f_2' x \int_0^1 S_{rn} y^2 dy \\ &\quad + \frac{1}{2} \int_0^1 K_2 F_{2n} dy + f_2' x \int_0^1 F_{1n} y dy \end{aligned} \right\} \quad (n=2, 3, \dots, N) \quad (3.4)$$

将 (3.3) 代入 (3.2) 式, 比较 W_0 同次幂系数, 可得确定 e_n 的方程组

$$\left. \begin{aligned} 1 &= e_0 e_1 - k \int_0^1 G_1 S_{r1} y dy + \frac{k}{2} f_2 \int_0^1 V_1 y^2 dy \\ 0 &= e_0 e_n - k \int_0^1 G_1 S_{rn} y dy + \frac{k}{2} f_2 \int_0^1 V_n y^2 dy \\ &\quad - \int_0^1 G_1 F_{1n} dy + \frac{f_2}{4} \int_0^1 F_{2n} y dy \end{aligned} \right\} \quad (n=2, 3, \dots, N) \quad (3.5)$$

由 (3.4) 和 (3.5) 可以逐次计算 e_n, V_n 和 $S_{r,n}$, 计算步骤如下, 令

$$\left. \begin{aligned} V_1^* &= V_0 - k \int_0^1 K_1 S_{r,1}^* y dy - k f_2 x \int_0^1 V_1^* y^2 dy \\ S_{r,1}^* &= S_0 + k \int_0^1 K_2 V_1^* y dy + k f_1' x \int_0^1 S_{r,1}^* y^2 dy \\ V_n^* &= -k \int_0^1 K_1 S_{r,n}^* y dy - k f_2 x \int_0^1 V_n^* y^2 dy \\ &\quad - \int_0^1 K_1 F_{1n} dy - \frac{f_2 x}{2} \int_0^1 F_{2n} y dy \\ S_{r,n}^* &= k \int_0^1 K_2 V_n^* y dy + k f_1' x \int_0^1 S_{r,n}^* y^2 dy \\ &\quad + \frac{1}{2} \int_0^1 K_2 F_{2n} dy + f_1' x \int_0^1 F_{1n} y dy \end{aligned} \right\} \quad (n=2, 3, \dots, N) \quad (3.6)$$

则有

$$\left. \begin{aligned} V_1 &= e_1 V_1^*, \quad S_{r,1} = e_1 S_{r,1}^* \\ V_n &= e_n V_1^* + V_n^*, \quad S_{r,n} = e_n S_{r,1}^* + S_{r,n}^* \end{aligned} \right\} \quad (3.7)$$

以及

$$\left. \begin{aligned} e_1 &= (e_0 - k \int_0^1 G_1 S_{r,1}^* y dy + \frac{f_2 k}{2} \int_0^1 V_1^* y^2 dy)^{-1} \\ e_n &= e_1 \left(\frac{1}{k} \int_0^1 G_1 S_{r,n}^* y dy - \frac{k}{2} f_2 \int_0^1 V_n^* y^2 dy \right. \\ &\quad \left. + \int_0^1 G_1 F_{1n} dy - \frac{f_2}{4} \int_0^1 F_{2n} y dy \right) \end{aligned} \right\} \quad (n=2, 3, \dots, N) \quad (3.8)$$

(3.6)~(3.8) 构成逐次计算 $e_n, V_n, S_{r,n}$ 的线性积分方程组, 便于数值计算.

四、内 力

引入无量纲量

$$m_r = -\sqrt{12(1-\nu^2)} \frac{a^2}{Dh} M_r, \quad m_i = -\sqrt{12(1-\nu^2)} \frac{a^2}{Dh} M_i, \quad S_i = -\frac{a^2 N_i}{D} \quad (4.1)$$

式中, M_i ——环向弯矩, N_i ——环向薄膜力. 则有^[11]

$$m_r = dV/dx + \nu V/x, \quad m_i = V/x + \nu dV/dx, \quad S_i = dS_r/dx \quad (4.2)$$

设 m_r, m_i, S_i 可展为

$$m_r = \sum_{n=1}^N m_{r,n} W_n^0, \quad m_i = \sum_{n=1}^N m_{i,n} W_n^0, \quad S_i = \sum_{n=1}^N S_{i,n} W_n^0 \quad (4.3)$$

由 (3.3), (3.4), (4.2) 和 (4.3) 可计算得

$$\left. \begin{aligned}
 m_{r_1} &= e_1 m_{r_0} - k \int_0^1 L_1 S_{r_1} y dy - k f_2 (1+\nu) \int_0^1 V_1 y^2 dy \\
 m_{t_1} &= e_1 m_{t_0} - k \int_0^1 L_2 S_{r_1} y dy - k f_2 (1+\nu) \int_0^1 V_1 y^2 dy \\
 S_{t_1} &= e_1 S_{t_0} + k \int_0^1 L_3 V_1 y dy + k f_1' \int_0^1 S_{r_1} y^2 dy \\
 m_{r_n} &= e_n m_{r_0} - k \int_0^1 L_1 S_{r_n} y dy - k f_2 (1+\nu) \int_0^1 V_n y^2 dy \\
 &\quad - \int_0^1 L_1 F_{1n} dy - \frac{1+\nu}{2} f_2 \int_0^1 F_{2n} y dy \\
 m_{t_n} &= e_n m_{t_0} - k \int_0^1 L_2 S_{r_n} y dy - k (1+\nu) f_2 \int_0^1 V_n y^2 dy \\
 &\quad - \int_0^1 L_2 F_{1n} dy - \frac{1+\nu}{2} f_2 \int_0^1 F_{2n} y dy \\
 S_{t_n} &= e_n S_{t_0} + k \int_0^1 L_3 V_n y dy + f_2' k \int_0^1 S_{r_n} y^2 dy \\
 &\quad + \frac{1}{2} \int_0^1 L_3 F_{2n} dy + f_2' \int_0^1 F_{1n} y dy
 \end{aligned} \right\} \quad (n=2, 3, \dots, N) \quad (4.4)$$

式中

$$\left. \begin{aligned}
 m_{r_0} &= \int_0^1 L_1 p_0(y) dy + f_3 (1+\nu) \\
 m_{t_0} &= \int_0^1 L_2 p_0(y) dy + f_3 (1+\nu) \\
 S_{t_0} &= -f_1' \int_0^1 p_0(y) y dy + f_1' \\
 L_1 &= \begin{cases} -\frac{1+\nu}{2} (y^{-1} + f_1 y) & (x \leq y \leq 1) \\ -\frac{1+\nu}{2} \left(\frac{1-\nu}{1+\nu} y x^{-2} + f_1 y \right) & (0 \leq y \leq x) \end{cases} \\
 L_2 &= \begin{cases} -\frac{1+\nu}{2} (y^{-1} + f_1 y) & (x \leq y \leq 1) \\ -\frac{1+\nu}{2} \left(\frac{1-\nu}{1+\nu} x^{-2} y + f_1 y \right) & (0 \leq y \leq x) \end{cases} \\
 L_3 &= \begin{cases} -(y^{-1} + f_1' y) / 2 & (x \leq y \leq 1) \\ -(-y x^{-2} + f_1' y) / 2 & (0 \leq y \leq x) \end{cases}
 \end{aligned} \right\} \quad (4.5)$$

如果解 (3.3) 已求得, 则可按上述诸式计算内力。

五、误差估计

我们直接采用方程组 (2.6) 和方程 (3.2) 的残数作为解 (3.3) 的准确度的度量。

定义残数

$$\left. \begin{aligned} R_V &= V - pV_0 - \int_0^1 K_1 F_1 dy + f_2 x \int_0^1 F_2 y dy \\ R_S &= S_r - pS_0 - \int_0^1 K_2 F_2 dy + f_2' x \int_0^1 F_1 y dy \\ R_W &= W_0 - e_0 p - \int_0^1 G_1 F_1 dy - \frac{f_2}{2} \int_0^1 F_2 y dy \end{aligned} \right\} \quad (5.1)$$

将 (3.3) 代入 (5.1), 并注意到 (3.4) 和 (3.5) 式, 我们得到

$$\left. \begin{aligned} R_V &= - \int_0^1 K_1 \left(\sum_{i+j=N+1}^{2N} V_i S_{r,j} W_0^{i+j} \right) dy \\ &\quad - \frac{f_2}{2} x \int_0^1 \left(\sum_{i+j=N+1}^{2N} V_i V_j W_0^{i+j} \right) y dy \\ R_S &= \frac{1}{2} \int_0^1 K_2 \left(\sum_{i+j=N+1}^{2N} V_i V_j W_0^{i+j} \right) dy \\ &\quad + f_2' x \int_0^1 \left(\sum_{i+j=N+1}^{2N} V_i S_{r,j} W_0^{i+j} \right) y dy \\ R_W &= - \int_0^1 G_1 \left(\sum_{i+j=N+1}^{2N} V_i S_{r,j} W_0^{i+j} \right) dy \\ &\quad + \frac{f_2}{4} \int_0^1 \left(\sum_{i+j=N+1}^{2N} V_i V_j W_0^{i+j} \right) y dy \end{aligned} \right\} \quad (5.2)$$

为应用上方便, 可取 R_V , R_S 的某一种平均值或某种适当组合作为解的误差估计^[2,3]. 特别是 R_W 可以用作弹性特征的误差估计.

六、算 例

作为本文结果的应用, 考虑扁球壳和圆柱壳组合问题的一个算例. 荷载为内压, 即 q_0 为常数, 并设柱壳与球壳有相同的 E , ν 和 h . 此时, (2.2) 式中

$$p_0(x) = -x^2/2, \quad f(x) = x \quad (6.1)$$

(2.1) 式中

$$\bar{V}_0 = a/R \quad (6.2)$$

式中, R ——球壳半径.

容易算得 (1.4) 式约束系数值为^[4]

$$\left. \begin{aligned}
 k_{11} &= -2[3(1-\nu)]^{1/4} \left(\frac{a}{h}\right)^{3/2} / E \\
 k_{12} &= -k_{21} = \frac{[12(1-\nu^2)]^{1/2}}{Eh} \left(\frac{a}{h}\right) \\
 k_{22} &= \frac{4[3(1-\nu^2)]^{3/4}}{Eh^2} \left(\frac{a}{h}\right)^{1/2} \\
 k_1^* &= \left(1 - \frac{\nu}{2}\right) \frac{a^2}{Eh}, \quad k_2^* = 0
 \end{aligned} \right\} \quad (6.3)$$

代入 (2.4) 式, 得

$$\left. \begin{aligned}
 \nu_1 &= \nu + [3(1-\nu^2)]^{1/4} (a/h)^{1/2} \\
 \nu_2 &= \nu - [3(1-\nu^2)]^{1/4} (a/h)^{1/2} \\
 \nu_3 &= -\nu_4 = [3(1-\nu^2)]^{1/4} (a/h)^{1/2} \\
 \nu_5 &= 0, \quad \nu_6 = (\nu - 2)[3(1-\nu^2)]^{1/2} a/h
 \end{aligned} \right\} \quad (6.4)$$

取摄动次数 $N=5$, $a/h=0.01$, $a/R=1/4$, $\nu=1/3$ 在表 1~5 中分别列出了 e_n , S_{rn} , S_{in} , m_{rn} , m_{in} 的计算结果。根据这些结果, 由 (3.3) 和 (4.3) 式便可计算出一定荷载下的 W 和内力值。这些结果可进一步用于强度及稳定性问题研究。

表 1 系 数 e_n

n	1	2	3	4	5
e_n	0.41246×10^3	-0.64490	-0.82414×10^{-2}	-0.15784×10^{-3}	-0.37998×10^{-5}

表 2 系 数 S_{rn}

x	0.047	0.231	0.500	0.769	0.953
$n=1$	0.13972	0.64590	0.12569×10	0.17098×10	0.86482
$n=2$	0.86400×10^{-5}	0.46560×10^{-4}	0.53617×10^{-3}	0.57408×10^{-2}	-0.40604×10^{-2}
$n=3$	-0.43400×10^{-5}	-0.19590×10^{-4}	-0.25090×10^{-4}	0.93470×10^{-4}	-0.52650×10^{-4}
$n=4$	-0.12000×10^{-6}	-0.63000×10^{-6}	-0.70000×10^{-6}	0.19000×10^{-5}	-0.95000×10^{-6}
$n=5$	0.0	0.0	0.0	0.0	0.0

表 3 系 数 $S_{i,n}$

x	0.047	0.231	0.500	0.769	0.953
$n=1$	0.29784×10	0.27834×10	0.23596×10	0.17967×10	-0.40086×10
$n=2$	0.12316×10^{-1}	0.12330×10^{-1}	0.13671×10^{-1}	0.28941×10^{-1}	-0.35945×10^{-1}
$n=3$	0.46012×10^{-4}	0.54230×10^{-4}	0.10707×10^{-3}	0.51122×10^{-3}	-0.57686×10^{-3}
$n=4$	0.20332×10^{-7}	0.21397×10^{-6}	0.15575×10^{-5}	0.10612×10^{-4}	-0.11496×10^{-4}
$n=5$	-0.12660×10^{-8}	0.31876×10^{-8}	0.39158×10^{-7}	0.24081×10^{-6}	-0.26045×10^{-6}

表 4 系 数 $m_{i,n}$

x	0.047	0.231	0.500	0.769	0.953
$n=1$	-0.20708×10	0.13966×10	0.90074×10	0.15317×10^2	0.14565×10^2
$n=2$	-0.39646×10^{-2}	-0.15855×10^{-2}	-0.10915×10^{-1}	-0.46630×10^{-1}	-0.17921×10^{-1}
$n=3$	0.10349×10^{-4}	-0.18673×10^{-5}	-0.95844×10^{-4}	-0.74565×10^{-3}	0.11375×10^{-4}
$n=4$	0.12347×10^{-8}	0.10587×10^{-6}	-0.16205×10^{-5}	-0.15444×10^{-4}	0.26289×10^{-5}
$n=5$	0.42346×10^{-7}	0.36505×10^{-8}	-0.44748×10^{-7}	-0.36665×10^{-6}	0.69251×10^{-7}

表 5 系 数 $m_{i,n}$

x	0.047	0.231	0.500	0.769	0.953
$n=1$	-0.21462×10	-0.39663	0.22144×10	0.39618×10	0.37030×10
$n=2$	-0.38463×10^{-2}	0.90248×10^{-3}	-0.87985×10^{-3}	-0.20164×10^{-1}	-0.80472×10^{-2}
$n=3$	0.11860×10^{-4}	0.31653×10^{-4}	0.28036×10^{-4}	-0.34226×10^{-3}	-0.81146×10^{-3}
$n=4$	0.12637×10^{-5}	0.78412×10^{-6}	0.74841×10^{-6}	-0.72395×10^{-5}	0.89061×10^{-6}
$n=5$	0.43043×10^{-7}	0.20443×10^{-7}	0.13729×10^{-7}	-0.17217×10^{-6}	0.24756×10^{-7}

按 $\Delta = |R_w/W_0|$ 估计了弹性特征误差, R_w 按(5.2)计算, 并取 $W_0=5$ ($W_0/h=1.53$), 结果是 $\Delta=0.27 \times 10^{-2}$ 精度是足够的。

本文计算是在 COROMEMCO SYSTEM-Ⅱ型微机上完成的。

参 考 文 献

- [1] Феодосьев В. И., Упругие Элементы Точного Приборостроения, Оборонгиз(1949).
- [2] 陈山林, 圆板大挠度的钱伟长解及其渐近特性, 应用数学和力学, 3, 4 (1982), 513—518.
- [3] 陈山林, 板和扁壳大挠度问题摄动参数的最小二乘法选择, 上海国际非线性力学会议论文集, 上海, (1985).
- [4] 刘人怀、陈山林, 椭球封头中心开孔接管的强度问题, 兰州大学科技专刊, 1 (1973), 14—28.

The Method of Mixed Boundary Condition for a Kind of Linear and Nonlinear Composite Structure

Chen Shan-lin

(Chongqing Institute of Architecture and Engr., Chongqing)

Zhang Li-ying

(Chongqing Jiaotong Institute, Chongqing)

Abstract

This paper deals with the axisymmetrical deformation of shallow shells in large deflection, which are in conjunction with linear elastic structures at the boundary. A method of mixed boundary condition for this problem is introduced, then the problem of a composite structure is transformed into a problem of a single structure and the integral equations are given. The perturbation method is used to obtain the solutions and an example of composite structure consisting of a shallow spherical and a cylindrical shell is presented.